

УДК 621.315.522.2

## КИНЕТИКА РАСПАДА ТВЕРДОГО РАСТВОРА ФОСФОРА В ДИФФУЗИОННЫХ СЛОЯХ КРЕМНИЯ

O. B. Александров, P. H. Кютт, B. И. Прохоров, L. M. Сорокин

С помощью рентгеновских и электрофизических методов, а также просвечивающей электронной микроскопии исследован распад твердого раствора фосфора в сильно легированных методом диффузии слоях кремния при температурах 500—700 °С. Кинетические зависимости изменения относительной деформации, электропроводимости и дефектности диффузионных слоев объясняются образованием выделений типа SiP главным образом из кластеров узельного электроактивного фосфора. Процесс распада лимитируется ускоренной диффузией фосфора и сопровождается коалесценцией выделений и генерацией дислокационных петель, снимающих напряжения.

Сочетание рентгенодифракционного метода определения деформации с электрофизическими методами определения концентраций примеси и носителей тока позволяет получить более полную информацию о состоянии примеси в твердом растворе. Такой путь, использованный в предыдущей работе [1], позволил установить, что электроактивный фосфор, присутствующий в сильно легированных слоях кремния, как и электроактивный, занимает узлы кристаллической решетки кремния, образуя, по-видимому, кластеры типа  $\text{Si}_x\text{P}_m$  [2]. Аналогичный подход был применен в работе [3] для изучения распада фосфора в твердом растворе, полученном с помощью лазерного отжига слоев Si, имплантированных высокой дозой ионов  $\text{P}^+$ . Наблюдаемое уменьшение деформации связывалось авторами [3] с образованием малых когерентных преципитатов состава SiP из атомов электроактивного фосфора. Однако этот вывод делался на основе сопоставления некой усредненной по слою деформации с поверхностной концентрацией только электроактивного P без учета возможности существования электроактивной примеси в другой форме. Кроме того, поведение фосфора в таких сверхпересыщенных растворах может иметь свои особенности.

Целью настоящей работы является исследование кинетики распада твердого раствора фосфора в слоях кремния, легированных в равновесных условиях методом диффузии с учетом поведения как активной, так и неактивной компонент примеси.

### 1. Методика эксперимента

Использовались пластины бездислокационного Si марки КДБ-1 толщиной 300 мкм, вырезанные из слитка перпендикулярно оси роста  $\langle 111 \rangle$ , подвергнутые химико-механической полировке. Диффузия фосфора проводилась в обе стороны пластины по методу открытой трубы из жидкого источника  $\text{PCl}_3$  при температурах 1000 и 1100 °С в течение 5 и 2 мин соответственно. Путем изменения потока газа-носителя с параметрами диффузанта варьировалась поверхностная концентрация фосфора от  $C_{\text{пов}} = 4.8 \cdot 10^{20}$  до  $1.9 \cdot 10^{21} \text{ см}^{-3}$ ; поверхностная концентрация носителей тока была при этом равна предельной  $n_{\text{пов}} = 2.5 \cdot 10^{20} \text{ см}^{-3}$ . Концентрации фосфора и носителей вблизи поверхности и их распределение по глубине определялись

методами нейтронно-активационного анализа и дифференциальной слоевой электропроводимости с удалением тонких слоев кремния путем химического стравливания и анодного окисления соответственно. Глубины залегания  $p-n$  переходов 0.5–0.8 мкм, слоевые сопротивления 7.7–19.5 Ом/кВ. Изотермические низкотемпературные отжиги (НТО) проводились при температурах 500, 600 и 700 °С в течение времени от 2 мин до 30 ч в среде аргона.

Дефекты в диффузионных слоях исследовались на электронных микроскопах Tesla BS-513 и JEM 200 CX при ускоряющих напряжениях 80 и 200 кВ соответственно.

Из рентгеновских кривых брэгговской дифракции по методике, описанной в [4], определялись распределения нормальной компоненты деформации по глубине кристалла  $\epsilon_{zz}(z)$ . Из полученных профилей определялась интегральная деформация

$$U = \int_0^{\infty} \epsilon_{zz}(z) dz,$$

а ее относительное изменение при НТО  $K_u = \Delta U/U_0$ , где  $\Delta U = U - U_0$  – разность между интегральными деформациями после и до НТО соответственно. Величина  $K_u$  сопоставлялась в работе с относительным изменением слоевой электропроводимости  $K_g = \Delta \sigma/\sigma_0$ . Величина  $\sigma$  определяется преимущественно сильно легированной частью диффузионного слоя, толщина которой при НТО не изменяется [5] и поэтому пропорциональна средней концентрации носителей тока в слое

$$\sigma \sim n. \quad (1)$$

## 2. Результаты и их обсуждение

При НТО диффузионных слоев кремния наблюдается монотонное уменьшение слоевой электропроводимости, кинетика которого удовлетворительно описывается уравнением Аврами с заменой, согласно (1), концентраций на проводимости

$$A = (\sigma(t) - \sigma_e)/(\sigma_0 - \sigma_e) = \exp [-(t/\tau)^n], \quad (2)$$

где  $\sigma_0$  – начальная проводимость,  $\sigma_e$  – проводимость слоя с равновесной концентрацией носителей  $n_e$ . В качестве последней использовалась аппроксимация температурной зависимости предельной растворимости фосфора в кремнии по данным [6, 7] ( $n_e = 2.1 \cdot 10^{19}$  и  $7 \cdot 10^{19}$  см<sup>-3</sup> при 508 и 650 °С соответственно).

Как видно из рис. 1, распад электроактивного фосфора характеризуется двумя стадиями – быстрой и медленной с показателями  $n_1$  и  $n_2$  соответственно ( $n_1: 1 - 0.30, 2 - 0.24, 3 - 0.22, 4 - 0.25, 5 - 0.23; n_2: 1 - 0.21, 2 - 0.12, 3 - 0.10, 4 - 0.15, 5 - 0.17$ ), которые значительно меньше предсказываемых теорией однофазного распада [8]. Время перехода от быстрой стадии к медленной уменьшается с увеличением температуры НТО от 3 ч при 500 °С до 20 мин при 700 °С.

В процессе НТО на кривых рентгеновского отражения происходит приближение побочных пиков, соответствующих деформированному слою, к основному, соответствующему недеформированной подложке. Это свидетельствует об уменьшении начальной деформации сжатия или компенсации деформации растяжения диффузионного слоя. Относительное изменение интегральной деформации  $K_u$  со временем НТО носит монотонный характер для поверхностных концентраций  $C_{\text{пов}} \leq 1 \cdot 10^{21}$  см<sup>-3</sup> (рис. 2, 2–4), тогда как для максимальной  $C_{\text{пов}} = 1.9 \cdot 10^{21}$  см<sup>-3</sup> за начальным участком быстрого роста следует спад  $K_u$ , который затем сменяется медленным ростом (рис. 2, 1, 5). На начальном участке рост  $|K_u|$  происходит быстрее, чем рост  $|K_g|$ , так что их отношение  $\gamma = K_u/K_g$  достигает значений 1.8–2.2 при  $t = 5 \div 30$  мин.

Рост относительной деформации сопровождается появлением на электронно-микроскопических изображениях дефектов, которые с увеличением времени НТО приобретают контраст, характерный для дислокационных петель или сферических выделений. Использование микроскопии

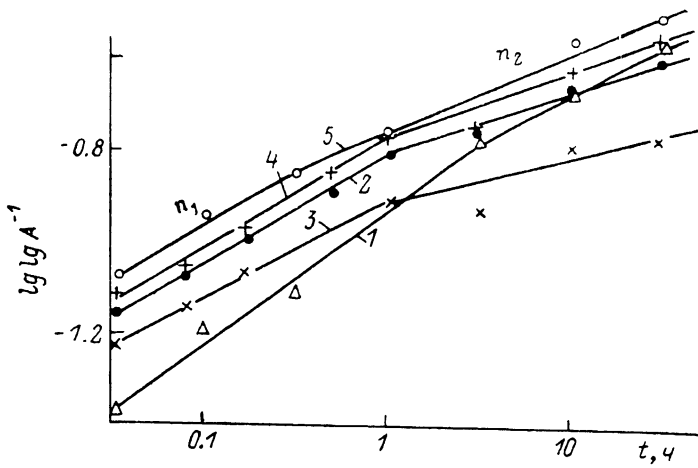


Рис. 1. Кинетика изменения слоевой электропроводности при НТО.

$T_{\text{HTO}}, ^\circ\text{C}: 1 - 500, 2-4 - 600, 5 - 700. C_{\text{пов P}}, \text{ см}^{-3}: 1, 4, 5 - 1.9 \cdot 10^{21}; 2 - 1.0 \cdot 10^{21}; 3 - 6.3 \cdot 10^{20}$ .

высокого разрешения показало (рис. 3, а), что это пластинчатые выделения размером 30–40 нм, находящиеся на глубине около 25 нм от поверхности. Наряду с ними имелись дефекты, дававшие контраст в виде полуодуг диаметром порядка 3 нм, которые, как показано в [9], представляют

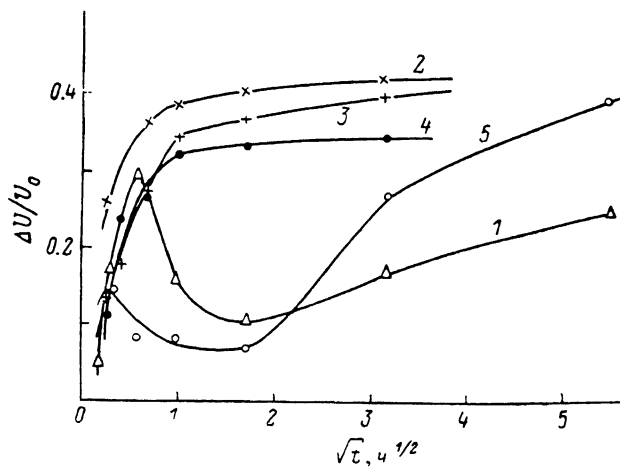


Рис. 2. Кинетика изменения относительной деформации диффузионных слоев при НТО.

$T_{\text{HTO}}, ^\circ\text{C}: 1 - 500, 2-4 - 600, 5 - 700. C_{\text{пов P}}, \text{ см}^{-3}: 1, 5 - 1.9 \cdot 10^{21}; 2 - 1.0 \cdot 10^{21}; 3 - 6.3 \cdot 10^{20}; 4 - 4.8 \cdot 10^{20}. T_{\text{дир}}, ^\circ\text{C}: 1-3, 5 - 1000; 4 - 1100$ .

собой малые когерентные преципитаты сферической формы. Плотность выделений растет с увеличением поверхностной концентрации фосфора или уменьшением температуры НТО и падает с увеличением времени НТО, изменяясь в диапазоне от  $4 \cdot 10^9$  до  $2 \cdot 10^{12} \text{ см}^{-2}$  и более. В образцах с максимальной концентрацией фосфора при больших временах НТО наблюдаются дислокационные петли внедренного типа (рис. 3, б). Размеры дислокационных петель растут с увеличением времени НТО, достигая 10 нм при  $500^\circ\text{C}$ , 40 нм при  $600^\circ\text{C}$  и 1100 нм при  $700^\circ\text{C}$  за время 10 ч.

Вследствие малости размеров выделения не поддавались идентификации методами электронной микроскопии. Можно предположить, как это сделано в работе [3], что они имеют состав SiP. Выделения такого состава наблюдались в кремнии при проведении диффузии фосфора с предельно

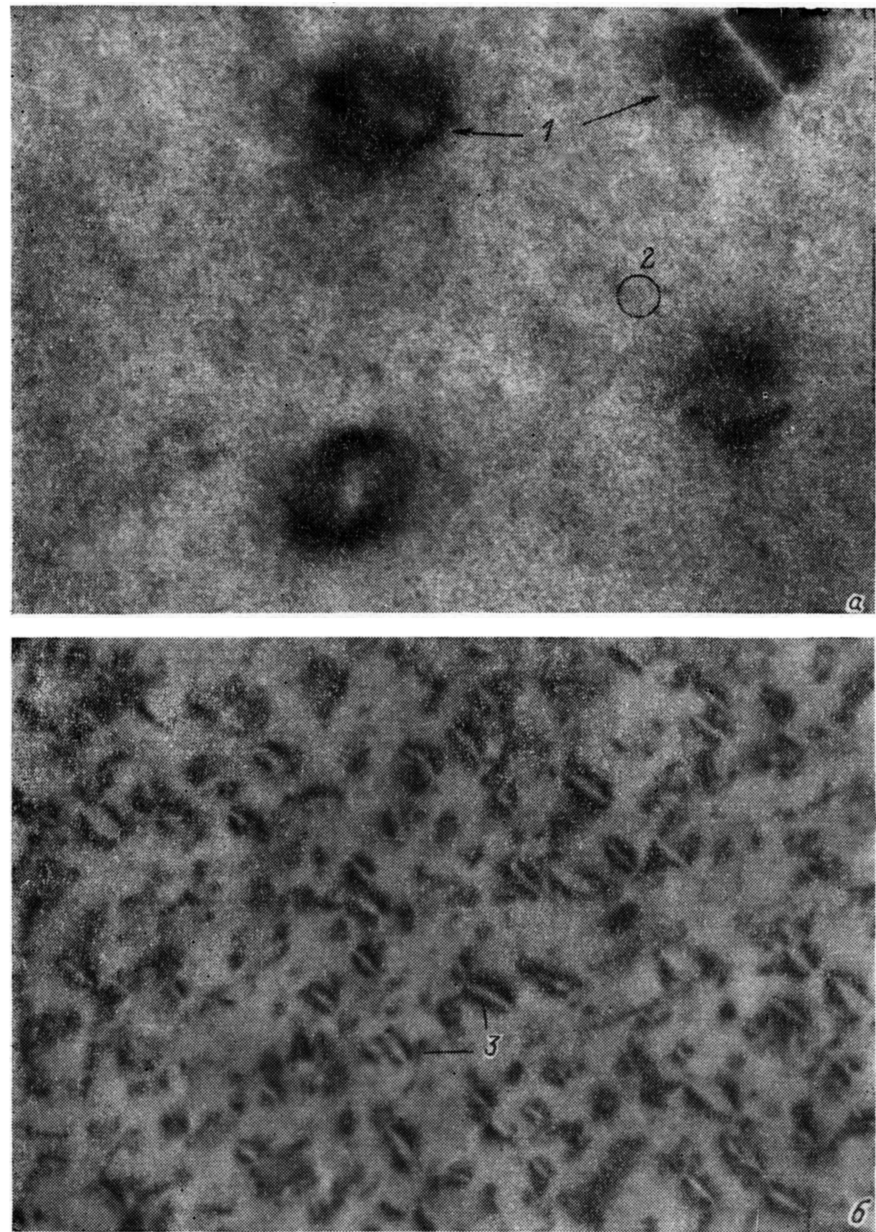


Рис. 3. Дефекты в диффузионных слоях кремния после НТО.

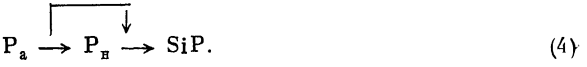
$T_{\text{HTO}}^{\circ}$  (°C), время (ч).  $C_{\text{пов}} \text{P} (\text{см}^{-3})$ : а — 600, 16,  $1.0 \cdot 10^{21}$ ; б — 700, 3,  $1.9 \cdot 10^{21}$ ; Увеличение  $\times 640\,000$  (а),  $\times 55\,000$  (б). 1 — пластинчатые выделения, 2 — малые когерентные выделения, 3 — дислокационные петли.

высокой концентрацией в окислительных условиях [10]. Величину коэффициента деформации решетки кремния выделениями SiP можно рассчитать в изотропном приближении по изменению объема, приходящегося на один атом фосфора, при замене  $n$  атомов матрицы одной формульной единицей (ФЕ) выделения

$$\beta_p = (\Omega_p - n\Omega_M)/3m, \quad (3)$$

где  $\Omega_m$  — атомный объем матрицы ( $\Omega_m=0.02 \text{ нм}^3$  для кремния);  $\Omega_b$  — объем ФЕ выделения;  $n, m$  — полное число атомов и атомов фосфора соответственно в ФЕ выделения. В случае выделений состава SiP орто-ромбической структуры ( $n=2, m=1, \Omega_b=0.041 \text{ нм}^3$  [10, 11]) из (3) получаем  $\beta_b=+0.26 \cdot 10^{-24} \text{ см}^{-3}$ . Т. е. выделения такого состава создают в решетке кремния положительную деформацию и поэтому могут быть ответственными за наблюдавшееся при НТО изменение деформации.

Полагаем, что образование и рост выделений SiP при распаде может происходить как из электроактивного  $P_a$ , так и электронеактивного фосфора  $P_n$  согласно реакций



В этом случае изменение деформации при НТО происходит вследствие ухода части электроактивного  $\Delta Q_a$  и неактивного  $\Delta Q_n$  фосфора из узлов кристаллической решетки кремния и образования из них выделений второй фазы с количеством фосфора в них

$$Q_b = -(\Delta Q_a + \Delta Q_n), \text{ так что}$$

$$K_u = (\beta_a \Delta Q_a + \beta_b \Delta Q_b + \beta_n Q_b) / (\beta_a Q_{a0} + \beta_b Q_{n0}), \quad (5)$$

где  $\beta_a, \beta_n$  — коэффициенты деформации решетки кремния соответственно

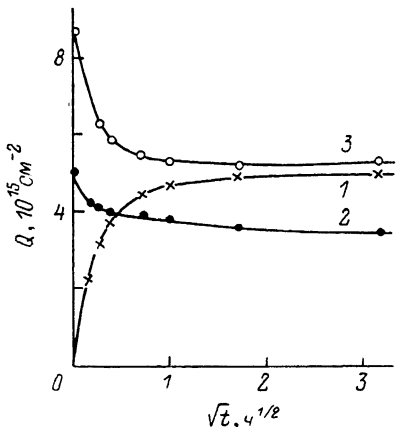


Рис. 4. Кинетика изменения количества фосфора в выделениях SiP (1) и узлах кристаллической решетки кремния в электроактивной (2) и неактивной (кластерной) (3) формах при НТО.  $T_b=600^\circ\text{C}$ ,  $C_{\text{нов}}=1.0 \cdot 10^{21} \text{ см}^{-3}$

электроактивным и неактивным фосфором. Имея в виду что  $\beta_a = \beta_n = \beta$  [1],  $Q_{a0} + Q_{n0} = Q_n$ , где  $Q_n$  — полное количество фосфора в слое, (5) сводится к

$$K_u = \frac{Q_b}{Q_n} \left( \frac{\beta_b}{\beta} - 1 \right). \quad (6)$$

Изменение электропроводимости при НТО связано с уменьшением в слое количества электроактивного фосфора

$$K_e = \Delta Q_a / Q_{a0}. \quad (7)$$

Для отношения  $K_u$  и  $K_e$  из (6), (7) получаем

$$\gamma = \left( 1 - \frac{\beta_b}{\beta} \right) \left( \frac{1 + \Delta Q_n / \Delta Q_a}{1 + Q_{n0} / Q_{a0}} \right). \quad (8)$$

Имея в виду, что  $Q_b = Q_n - (Q_a + Q_n)$ , с помощью выражений (6), (7) по измеренным величинам  $K_u$  и  $K_e$  при известных значениях  $\beta$  [1] и  $\beta_b$  можно определить количество фосфора в выделениях и в узлах в электрически активной и неактивной формах. Полученные таким образом кинетики приведены на рис. 4. Как видно из рис. 4, на первой, быстрой, стадии распада образование выделений происходит преимущественно из электронеактивного фосфора. При экспериментальных значениях  $\gamma = 1.8 \div 2.2$  и  $Q_{n0} / Q_{a0} = 1 \div 5$  из (8) имеем  $\Delta Q_n / \Delta Q_a = 3 \div 9$ . Этот результат, а также отсутствие на кинетике распада начальной, медленной, стадии зародышевого образования (рис. 1) свидетельствуют в пользу существования кластерной формы электронеактивного фосфора, играющей роль зародышей выделений второй фазы при НТО.

Предположения о том, что весь электронеактивный фосфор находится исключительно в выделениях SiP или что при НТО образование выделе-

ний происходит только за счет электроактивного фосфора (верхняя стрелка в (4)), как это предполагалось ранее [3, 7, 9], вступают в противоречие с экспериментальными данными работы [1] и настоящей. Действительно, в первом случае ( $Q_{\text{в}0}=Q_{\text{в}0}$ ) должны были бы иметь начальную деформацию в 2.3—20 раз меньше наблюдаемой, а во втором случае ( $\Delta Q_{\text{в}}=-\Delta Q_{\text{в}}$ ,  $\Delta Q_{\text{в}}=0$ ) из (8) должны были бы иметь  $\gamma=0.6 \pm 0.2=\text{const}(t)$ .

Количество фосфора в выделениях, рассчитанное по величине относительной деформации из (6), можно сопоставить с величиной  $Q_{\text{в}}$ , определенной по данным электронной микроскопии. Так, например, для образца (рис. 3, a) по плотности выделений и их среднему размеру в предположении состава SiP и сферической формы находим  $Q_{\text{в}}=5.7 \cdot 10^{15} \text{ см}^{-2}$ , а расчет по формуле (6) дает величину  $5.1 \cdot 10^{15} \text{ см}^{-2}$ . Близость расчетных и наблюдаемых значений  $Q_{\text{в}}$  свидетельствует в пользу того, что выделения действительно имеют состав SiP.

Аномальное поведение относительной деформации при НТО диффузионных слоев с максимальной поверхностной концентрацией (рис. 2, 1, 5) можно связать с образованием около выделений дислокационных петель внедренного типа. Такие петли, наблюдавшиеся также в работах [7, 12], способны, как показано в [13], снимать значительную долю напряжений, связанных с выделениями. Действительно, величина относительной деформации около выделений фосфора в кремнии при образовании дислокационных петель, найденная в работе [12] по ширине дифракционного изображения, составляла всего  $(1 \div 4) \cdot 10^{-3}$ , что значительно меньше расчетной величины несоответствия выделения SiP и матрицы кремния  $\varepsilon_{\text{в}}=(\Omega_{\text{в}}-2\Omega_{\text{м}})/2\Omega_{\text{м}}=2 \cdot 10^{-2}$ . Причиной аномального падения  $K_{\text{в}}$  может являться также изменение формы выделений SiP при увеличении времени НТО со сферической на пластинчатую с соответствующим изменением коэффициента деформации  $\beta_{\text{в}}$ , вследствие ориентации выделений по направлениям наименьшего несоответствия ( $\langle 110 \rangle$  для орторомбического SiP в матрице кремния [10]).

Уменьшение плотности выделений со временем НТО свидетельствует о происходящем при распаде процессе коалесценции частиц второй фазы. Непостоянство количества центров распада, по-видимому, является причиной аномально малых значений показателей  $n < 1$  на рис. 1 в уравнении Аврами (2).

Коэффициенты диффузии фосфора  $D$ , определенные из постоянной распада ( $\tau=(DN)^{-1}$ , где  $N$  — плотность центров распада) и из размеров частиц выделений ( $r \approx \sqrt{2Dt}$ ), оказались примерно равными друг другу ( $D \approx 10^{-17} \text{ см}^2/\text{s}$  при  $600^\circ\text{C}$ ). Это свидетельствует о том, что процесс распада лимитируется диффузией атомов фосфора к центрам зародышебразования. Величина коэффициента диффузии при НТО примерно на три порядка выше экстраполированных значений собственного коэффициента диффузии фосфора и соответствует величине, рассчитанной по предложенной в работе [5] модели ускоренной диффузии фосфора из сильно легированных слоев кремния при НТО.

Таким образом, экспериментальные результаты по кинетике распада твердого раствора фосфора в сильно легированных диффузионных слоях кремния объясняются образованием выделений типа SiP главным образом из кластеров узельного электроактивного фосфора. Процесс распада сопровождается коалесценцией выделений, генерацией дислокационных петель и лимитируется ускоренной диффузией фосфора к центрам зародышебразования.

В заключение авторы выражают благодарность С. С. Рувимову и М. Циклер за предоставленный электронно-микроскопический снимок, а профессору И. Хайденрайху (ИФТТ и ЭМ АН ГДР) — за возможность проведения исследований на высокоразрешающем электронном микроскопе.

## Список литературы

- [1] Александров О. В., Кютт Р. Н., Алкснис Т. Г. // ФТТ. 1980. Т. 22. № 10. С. 2892—2896.
- [2] Александров О. В., Ашхинадзе Н. В., Тумаров Р. З. // ФТТ. 1984. Т. 26. № 2. С. 632—634.
- [3] Servidori M., Monta C. D., Zini Q. // Phys. St. Sol. (a). 1983. V. 80. N 1. P. 277—285.
- [4] Kyutt R. N., Petrashen P. V., Sorokin L. M. // Phys. St. Sol. (a). 1980. V. 60. N 2. P. 381—389.
- [5] Александров О. В., Тумаров Р. З. // Сб. «Легирование полупроводников». М.: Наука, 1982. С. 97—102.
- [6] Miyao M., Natsuaki N., Iochihiro N., Tamura M., Tokuyama T. // Jap. J. Appl. Phys. 1976. Suppl. 15—1. P. 57—62.
- [7] Ostoja P., Nobili D., Arwigliato A., Angelucci A. // J. Electrochem. Soc. 1976. V. 123. N 1. P. 124—133.
- [8] Фистуль В. И. Распад пересыщенных твердых полупроводниковых растворов. М.: Металлургия, 1977. С. 79.
- [9] Nobili D., Arwigliato A., Finetti M., Solmi S. // J. Appl. Phys. 1982. V. 53. N 3. P. 1484—1491.
- [10] Servidori M., Arwigliato A. // J. Mater. Sci. 1975. V. 10. N 2. P. 306—313.
- [11] Wodsten T. // Chemie Scripta. 1975. V. 8. N 2. P. 63—69.
- [12] Jacodine R. J. // J. Appl. Phys. 1968. V. 39. N 7. P. 3105—3108.
- [13] Захаров Н. Д., Рожанский В. Н., Корчажкина Р. Л. // ФТТ. 1974. Т. 16. № 5. С. 1444—1450.

Физико-технический институт  
им. А. Ф. Иоффе АН СССР  
Ленинград

Поступило в Редакцию  
16 мая 1989 г.